

**(54) BAND-PASS FILTER OF DIELECTRIC RESONATOR**

(11) 61-79301 (A) (43) 22.4.1986 (19) JP

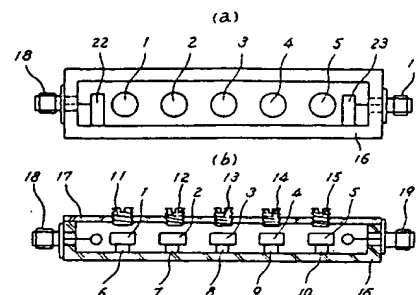
(21) Appl. No. 59-202337 (22) 27.9.1984

(71) NEC CORP (72) MOTOO MIZUMURA(1)

(51) Int. Cl. H01P1/212, H01P1/20//H01P7/10

**PURPOSE:** To suppress the propagation of an unnecessary mode, by providing bar-like metallic resonators of a length which is about a quarter of the wavelength of the fundamental wave of a BPF in an input-output circuit under a condition where one ends of the resonators are connected with a metallic box body and the other ends are left opened.

**CONSTITUTION:** Metallic resonators 22 and 23 are respectively connected with input-output connectors 18 and 19 under a condition where one ends of the resonators 22 and 23 are connected with a metallic box body 16 and the other ends are left opened. Since the length of the resonators 22 and 23 is set at about a quarter of the wavelength of the fundamental wave,  $f_0$  of a band-pass filter of a dielectric resonator, propagation of signals having a frequency  $2f_0$  is suppressed.

**(54) LIQUID TERMINAL LOAD FOR MICROWAVE**

(11) 61-79302 (A) (43) 22.4.1986 (19) JP

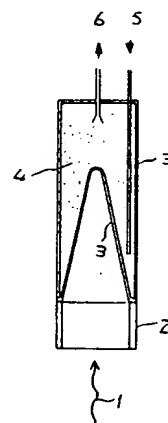
(21) Appl. No. 59-200631 (22) 27.9.1984

(71) TOSHIBA CORP (72) TORU SUGAWARA

(51) Int. Cl. H01P1/26, H01P1/30

**PURPOSE:** To obtain a liquid terminal load in which the mechanical strength of a liquid container is improved, by providing liquid dielectrics in such a form that the dielectrics wrap and incident wave.

**CONSTITUTION:** A terminal load is composed of a dielectric container 3 which causes an incident wave 1 to constitute tapered unevenness, a liquid showing a dielectric loss 4 filling the container 3, and tubes 5 and 6, through which the liquid 4 is charged and discharged. Since the liquid showing a high dielectric loss has a specific inductive capacity which is higher than 1, an electromagnetic wave shows a remarkable reflecting phenomenon at the interface between an area having the same degree of specific inductive capacity as 1 and a liquid. By utilizing this phenomenon, leakage waves radiated to the dielectric 4 side are energy-dispersed into the liquid 4 as dielectric losses. Since the top of the tapered bottom of the container 3 is positioned in an interrupting area of the incident wave, it is not necessary to form the top to have a sharp tip and, therefore, it is possible to form the top with a shell structure having a high mechanical strength as shown in the figure.

**(54) MANUFACTURE OF WAVEGUIDE**

(11) 61-79303 (A) (43) 22.4.1986 (19) JP

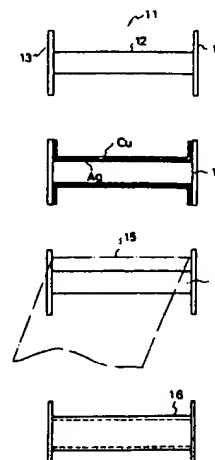
(21) Appl. No. 59-202718 (22) 27.9.1984

(71) TOSHIBA CORP (72) MINEO MARUOKA(1)

(51) Int. Cl. H01P11/00

**PURPOSE:** To dissolve problems which have been caused by etching, by using a low-melting point alloy as the material of a mandrel and, when a formed product is taken out, melting the mandrel.

**CONSTITUTION:** A mandrel 11 is formed by using a ternary eutectic alloy (of a 143°C melting temperature) of, for example, 18.2% Cd, 30.6% Pd, and 51.2% Sn and electric Cu plating is performed on the surface of the mandrel 11 after performing non-electroplating Ag plating. Carbon cloth 15 is wound around the mandrel 11 to a thickness of 2mm by impregnating the cloth with epoxy resin at every one layer. The section formed with the carbon cloth is heat-hardened for about 3hr at 120°C under 4kg/cm<sup>2</sup> pressure and, after the heat-hardening treatment, put under atmospheric pressure at 130°C. Then the formed product is put in a furnace of 145°C where the material forming the mandrel 11 is melted and removed and a waveguide 16 is obtained.



⑨ 日本国特許庁(JP)

⑩ 特許出願公開

⑫ 公開特許公報(A)

昭61-79301

⑤ Int.Cl.<sup>4</sup>

識別記号

庁内整理番号

⑬ 公開 昭和61年(1986)4月22日

H 01 P 1/212

7741-5J

// H 01 P 1/20

A-7741-5J

6749-5J

審査請求 有 発明の数 1 (全4頁)

⑭ 発明の名称 誘電体共振器帯域通過ろ波器

⑮ 特 願 昭59-202337

⑯ 出 願 昭59(1984)9月27日

⑰ 発 明 者 水 村 元 夫 東京都港区芝5丁目33番1号 日本電気株式会社内  
⑱ 発 明 者 清 久 介 東京都港区芝5丁目33番1号 日本電気株式会社内  
⑲ 出 願 人 日本電気株式会社 東京都港区芝5丁目33番1号  
⑳ 代 理 人 弁理士 八幡 義博

#### 明 細 書

##### 1. 発明の名称

誘電体共振器帯域通過ろ波器

##### 2. 特許請求の範囲

n ( 1 , 2 , 3 …… ) 個の誘電体共振器とそれらを内包する金属きょう体とからなる誘電体共振器帯域通過ろ波器において、外部回路と接続するための入出力回路に、前記帯域通過ろ波器の基本波の波長の約4分の1の長さの棒状の金属共振器を、一端を金属きょう体に接続し他端が開放端となるような状態で配設したことを特徴とする誘電体共振器帯域通過ろ波器。

##### 3. 発明の詳細な説明

(産業上の利用分野)

本発明は、誘電体共振器を用いた帯域通過ろ波器の伝搬特性の改良に関するものである。

(従来の技術)

第4図に、従来の誘電体共振器帯域通過ろ波器(Dielectric Resonant Band Pass Filter: 以下DR-BPFという)の誘電体共振器が5段の

場合の構成例を示す。図中、番号1~5は誘電体共振器、6~10は誘電体共振器1~5の支持台、11~15は誘電体共振器1~5の各共振周波数を調整する為の金属捻子、16はDR-BPFのきょう体であり金属で製作される。17はDR-BPFの金属カバー、18、19は入出力用のコネクタであり、コネクタ18には誘電体共振器1と電磁界的に結合するためのプローブ20が取り付けられ、コネクタ19には誘電体共振器5と電磁界的に結合するためのプローブ21が取り付けられている。

(発明が解決しようとする問題点)

帯域通過ろ波器に要求される基本的な機能は必要な帯域の信号は通過させ、不要な帯域の信号の通過は阻止するということである。

しかしながら、従来のDR-BPFには次のような不要モードの伝搬がある。第1の不要モードは誘電体共振器の高次モードの共振であり、第2の不要モードは金属きょう体の共振である。ただ、金属きょう体の共振といつても、きょう

体の中には誘電体共振器が入っているので、単なるきょう体だけの共振ではなく、誘電体共振器との相互作用により発生するものである。

これら不要モードをも考慮したとき、従来の構成のDR-BPFのモード伝搬のモデル図は第5図のようになる。

即ち、入力から出力迄の間に、誘電体共振器の基本モードの他に前記高次モードの共振及び金属きょう体の共振による不要モードが伝搬する。

第4図に示される従来の構成のDR-BPFでは不要モードの伝搬を抑圧する周波数特性をもたせる機能がないために、上記の不要モードが全て伝搬してしまい、第6図に、従来の構成のDR-BPFの周波数特性の実測例を示す。この実測例は誘電体共振器の基本モードで決まる中心周波数 $f_0$ が6.0992 GHzの例であるが図から、高域側に不要モードが伝搬していることがわかる。特に、中心周波数の2倍、即ち、 $2f_0 = 12.1984$  GHzの周波数ではほとんど

減衰することなく不要モードが伝搬していることがわかる。このような不要モードの伝搬は通信システムその他の実用システムにおいて問題となる。

(問題点を解決するための手段)

本発明は、前記従来のDR-BPFの欠点である不要モードの伝搬、特に前記の周波数が $2f_0$ の伝搬を抑圧するための改善を目的としたものである。

本発明は、上記の目的を達成するために次の構成を有する。

即ち、 $n$  (1, 2, 3, ……) 個の誘電体共振器とそれらを内包する金属きょう体とからなる誘電体共振器帯域通過ろ波器において、外部回路と接続するための入出力回路に、前記帯域通過ろ波器の基本波の波長の約4分の1の長さの棒状の金属共振器を、一端を金属きょう体に接続し他端が開放端となるような状態で配設した誘電体共振器帯域通過ろ波器(DR-BPF)である。

・ 3 ・

#### (作用)

本発明のDR-BPFで配設された共振器はDR-BPFの基本周波数 $f_0$ の波長の約4分の1の長さに設定されているので基本周波数 $f_0$ に対して4分の1波長の長さの共振器となり基本モードは伝搬する。しかしながら、周波数 $2f_0$ に対しては共振器の開放端が電磁界的に短絡面となるので周波数が $2f_0$ の信号は伝搬しない。従つて、入力端から出力端への周波数応答を考えた場合に周波数 $2f_0$ の信号を減衰させることができる。

#### (実施例)

以下、本発明の実施例を図面に基づいて説明する。

第1図は、本発明の実施例の構造を示す図である。図中、番号1～19は第4図のそれと同じである。番号22及び23で示したのが本発明で設けられた共振器である。共振器22及び同23は各々一端が金属きょう体に接続され、他端が開放となつている共振器であり、それぞ

・ 4 ・

れ入出力コネクタ18及び同19と接続されている。この共振器22及び同23の長さがDR-BPFの基本周波数 $f_0$ の波長の約4分の1の長さに選定されているために周波数が $2f_0$ の信号の伝搬を抑圧することになる。共振器22及び同23の断面形状は丸型、多角型のいずれでもよい。

本発明を適用したDR-BPFのモード伝搬のモデル図を第2図に示す。また基本周波数 $f_0$ が6.0992 GHzの場合の本発明の実施例の周波数特性の実測例を第7図に示す。第7図に於ては基本周波数の2倍である12.1984 GHzのところでは45 dB程度減衰しており本発明の効果が明らかに現われている。第3図に、本発明の共振器の他の実施例を示す。

前述の実施例においては、共振器の長さは略4分の1波長で固定の場合を示したが、第3図(a)に於ては共振器の長さを捻子構造により可変とし、DR-BPFの中心周波数(基本周波数)が変化したときにも対応できる構成となつてい

・ 5 ・

・ 6 ・

る。第3図(b)は共振器の開放端に対向するように、金属捻子による突部を設け容量を装荷させる等の共振器の長さを変化させる例である。

#### (発明の効果)

以上説明したように、本発明によれば、誘電体共振器と入出力コネクタとの間に誘電体共振器の基本周波数(帯域通過フィルタの中心周波数)の波長の約4分の1の長さの共振器を設けることにより、不要モードによる伝搬、特に基本周波数の2倍の周波数における伝搬を抑圧することができるという利点がある。

#### 4. 図面の簡単な説明

第1図は本発明の実施例の構造を示す図で図(a)は金属カバー17を除いた状態の平面図、図(b)は断面図、

第2図は第1図の実施例におけるモード伝搬のモデル図、

第3図は本発明の他の実施例の構造を示す図、

第4図は従来のDR-BPFの構造を示す図で図(a)は金属カバー17を除いた状態の平面図、

図(b)は断面図、

第5図は第4図の実施例におけるモード伝搬のモデル図、

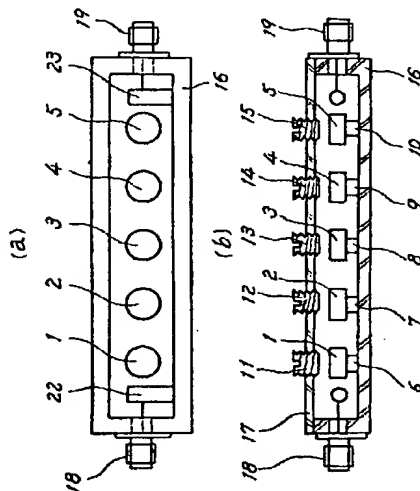
第6図は従来のDR-BPFの周波数特性を示す図、

第7図は本発明の実施例の周波数特性を示す図である。

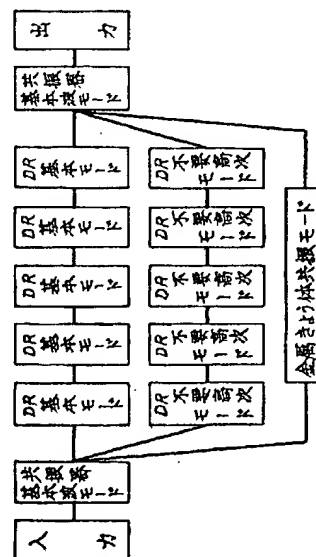
1～5…誘電体共振器、6～10…誘電体共振器1～5の支持台、11～15…誘電体共振器1～5の共振周波数を調整するための金属捻子、16…DR-BPFの金属基体、17…DR-BPFの金属カバー、18、19…入出力用コネクタ、20、21…プローブ、22、23、24…共振器、25…共振器の長さ調整用の捻子、26…共振器の等価的長さ調整のための容量可変捻子、27…共振器

代理人 弁理士 八 幡 義 博

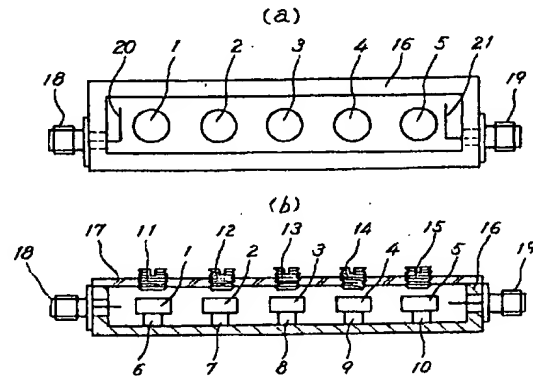
第1図



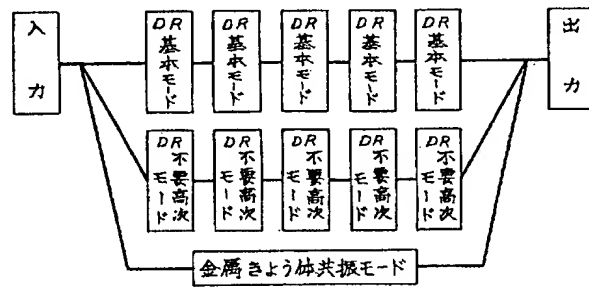
第2図



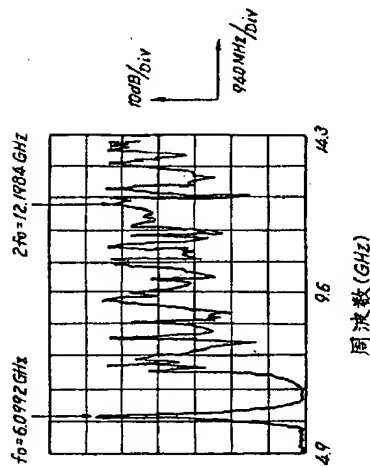
第 4 図



第 5 図



第 6 図



第 7 図

